

## Comparação Numérica entre Métodos Iterativos para Problemas Não Lineares

Elienai Alves de Souza<sup>1</sup>

Modelagem Computacional em Ciéncia e Tecnologia, UFF, Volta Redonda, RJ  
Gustavo Benitez Alvarez<sup>2</sup>

Modelagem Computacional em Ciéncia e Tecnologia, UFF, Volta Redonda, RJ  
Diomar Cesar Lobão<sup>3</sup>

Modelagem Computacional em Ciéncia e Tecnologia, UFF, Volta Redonda, RJ

**Resumo.** Neste trabalho, são apresentados alguns métodos iterativos clássicos e outros mais recentes para a resolução de sistemas de equações não lineares. Os dez métodos iterativos estudados estão implementados na linguagem MATLAB®, sendo aplicados na resolução de quatro diferentes sistemas não lineares cujas soluções são previamente conhecidas. Utilizando como aproximação inicial uma malha  $1000 \times 1000$  no intervalo  $[-2, 2] \times [-2, 2]$  em  $\mathbb{R}^2$ , são obtidos dados sobre o desempenho e as bacias de atração de cada método para cada sistema não linear. Além dos métodos iterativos, implementou-se algoritmos para gerar as imagens das bacias de atração e de seus respectivos conjuntos de Julia, para assim calcular o raio de convergência local para cada raiz e a dimensão fractal de cada conjunto de Julia pelo método *Box-Counting*. Desta forma, obteve-se dados que foram organizados em imagens e tabelas para auxiliar na análise comparativa.

**Palavras-chave.** Métodos Iterativos, Sistema de Equações Não Lineares, Dimensão Fractal.

### 1 Introdução

De acordo com Taylor [1], ao contrário dos problemas lineares, a maioria dos problemas não lineares não têm solução analítica. Assim, nos últimos anos, com o desenvolvimento de computadores digitais cada vez mais eficientes e rápidos, a investigação de problemas não lineares e de métodos numéricos na resolução destes tem aumentado drasticamente. Considere o sistema de equações não lineares

$$\begin{cases} f_1(x_1, x_2, \dots, x_n) = 0 \\ f_2(x_1, x_2, \dots, x_n) = 0 \\ \vdots \\ f_n(x_1, x_2, \dots, x_n) = 0 \end{cases} \Rightarrow F(\mathbf{x}) = \mathbf{0}, \quad (1)$$

---

<sup>1</sup>profelienai.vr@gmail.com

<sup>2</sup>benitez.gustavo@gmail.com

<sup>3</sup>lobaodimarcesar@yahoo.ca

sendo  $f_1, \dots, f_n$  funções não lineares de  $n$  variáveis e  $F$  uma função vetorial em  $\mathbf{x} \in \mathbb{R}^n$ .

Solucionar este sistema consiste em determinar os  $\mathbf{x}$  que satisfaçam (1), sendo possível em raros casos obter soluções exatas. Em geral, é possível obter soluções aproximadas utilizando métodos iterativos do tipo  $\mathbf{x}_{k+1} = \Phi(\mathbf{x}_k)$ , onde  $\mathbf{x}_k$  é a solução aproximada na  $k$ -ésima iteração.

## 2 Métodos Iterativos para Sistemas Não Lineares

Os dez métodos iterativos aqui tratados são do tipo  $\mathbf{x}_{k+1} = \Phi(\mathbf{x}_k)$ . Estes fornecem uma sequência de vetores  $\{\mathbf{x}_k\}_{k=0}^\infty$ , sendo  $k$  o índice do passo (ou iteração) e  $\mathbf{x}_k$  a aproximação da solução na  $k$ -ésima iteração. A partir de uma estimativa inicial  $\mathbf{x}_0$ , esta sequência poderá divergir ou convergir para uma  $i$ -ésima raiz  $\mathbf{x}^{*,i}$  do sistema  $F(\mathbf{x}) = \mathbf{0}$ .

- Método de Newton (Nw) [2]:  $\mathbf{x}_{k+1} = \mathbf{x}_k - J^{-1}(\mathbf{x}_k)F(\mathbf{x}_k). \quad (2)$

- Método de Broyden (Br) [3]:  $\mathbf{x}_{k+1} = \mathbf{x}_k - B^{-1}(\mathbf{x}_k)F(\mathbf{x}_k), \quad (3)$

onde

$$B_k = B_{k-1} + (\mathbf{y}_k - B_{k-1}\mathbf{s}_{k-1}) \frac{\mathbf{s}_{k-1}^T}{\mathbf{s}_{k-1}^T \mathbf{s}_{k-1}} \quad (4)$$

para  $k > 0$ , sendo  $\mathbf{y}_k = F(\mathbf{x}_k) - F(\mathbf{x}_{k-1})$ ,  $\mathbf{s}_{k-1} = \mathbf{x}_k - \mathbf{x}_{k-1}$  e  $B_0 = J(\mathbf{x}_0)$ . Uma melhoria considerável pode ser incorporada através do emprego da fórmula de inversão matricial de Sherman e Morrison [4]:

$$B_k^{-1} = B_{k-1}^{-1} - \frac{(B_{k-1}^{-1}\mathbf{y}_k - \mathbf{s}_{k-1})\mathbf{s}_{k-1}^T B_{k-1}^{-1}}{\mathbf{s}_{k-1}^T B_{k-1}^{-1} \mathbf{y}_k}. \quad (5)$$

- Método de Steffensen (St) [5]: aproximando a Jacobiana pelo método das diferenças divididas  $J(\mathbf{x}_k) \approx [\mathbf{x}_k, \mathbf{x}_k + F(\mathbf{x}_k); F]$  no método de Newton (2), obtém-se o método de Steffensen dado pela equação

$$\mathbf{x}_{k+1} = \mathbf{x}_k - [\mathbf{x}_k, \mathbf{x}_k + F(\mathbf{x}_k); F]^{-1} F(\mathbf{x}_k). \quad (6)$$

- Método de Halley (Ha) [6]:  $\mathbf{x}_{k+1} = \mathbf{x}_k - \left[ I - \frac{1}{2} L(\mathbf{x}_k) \right]^{-1} J^{-1}(\mathbf{x}_k)F(\mathbf{x}_k), \quad (7)$

onde

$$\begin{aligned} \mathbf{a}_k &= J^{-1}(\mathbf{x}_k)F(\mathbf{x}_k), \\ H(\mathbf{x}_k)\mathbf{a}_k &= \begin{bmatrix} H(f_1(\mathbf{x}_k))\mathbf{a}_k & H(f_2(\mathbf{x}_k))\mathbf{a}_k & \cdots & H(f_n(\mathbf{x}_k))\mathbf{a}_k \end{bmatrix}, \\ L(\mathbf{x}_k) &= J^{-1}(\mathbf{x}_k)[H(\mathbf{x}_k)\mathbf{a}_k]^T, \end{aligned}$$

$H(\mathbf{x}_k)$  é um tensor de terceira ordem que costuma ser chamado de matriz Hessiana [7] do sistema (1) e  $H(f_i(\mathbf{x}_k))$  é uma matriz quadrada de ordem  $n$  formada pelas derivadas segundas de  $f_i$  e chamada matriz Hessiana da  $i$ -ésima função  $f_i(\mathbf{x})$ .

- Método de Chebyshev (Cbs) [6]:  $\mathbf{x}_{k+1} = \mathbf{x}_k - \left[ I + \frac{1}{2}L(\mathbf{x}_k) \right] J^{-1}(\mathbf{x}_k)F(\mathbf{x}_k).$  (8)

- Método super-Halley (sH) [8]:

$$\mathbf{x}_{k+1} = \mathbf{x}_k - \left[ I + \frac{1}{2}L(\mathbf{x}_k)(I - L(\mathbf{x}_k))^{-1} \right] J^{-1}(\mathbf{x}_k)F(\mathbf{x}_k). \quad (9)$$

- Método de Potra-Pták (PP) [9]:  $\mathbf{y}_k = \mathbf{x}_k - J^{-1}(\mathbf{x}_k)F(\mathbf{x}_k), \quad (10)$

$$\mathbf{x}_{k+1} = \mathbf{x}_k - J^{-1}(\mathbf{x}_k)[F(\mathbf{x}_k) + F(\mathbf{y}_k)]. \quad (11)$$

- Métodos da Homotopia e Continuação (HC) [3]:

Os métodos da *homotopia e continuação* para sistemas não lineares introduzem o problema a ser resolvido dentro de um outro conjunto de problemas. Resumindo, através da homotopia de Newton Global [10] e aplicando o método da continuação, resolver o sistema  $F(\mathbf{x}) = \mathbf{0}$  equivale ao problema de resolver o seguinte sistema de equações diferenciáveis

$$\frac{d\mathbf{x}(\beta)}{d\beta} = -J^{-1}(\mathbf{x}(\beta))F(\mathbf{x}(0)), \text{ para } 0 \leq \beta \leq 1, \quad (12)$$

com a condição inicial  $\mathbf{x}(0)$ . Neste trabalho, o sistema (12) é resolvido através do método de Runge-Kutta de quarta ordem com quatro passos.

- Método do Ponto-Médio (PM) [6]:  $\mathbf{y}_k = \mathbf{x}_k - \frac{1}{2}J^{-1}(\mathbf{x}_k)F(\mathbf{x}_k), \quad (13)$

$$\mathbf{x}_{k+1} = \mathbf{x}_k - J^{-1}(\mathbf{y}_k)F(\mathbf{x}_k). \quad (14)$$

- Método de Chun (Ch) [11]:

$$\mathbf{y}_k = \mathbf{x}_k - J^{-1}(\mathbf{x}_k)F(\mathbf{x}_k), \quad (15)$$

$$\mathbf{x}_{k+1} = \mathbf{x}_k - J^{-1}(\mathbf{x}_k)F(\mathbf{x}_k) - 2J^{-1}(\mathbf{x}_k)F(\mathbf{y}_k) + [J^{-1}(\mathbf{x}_k)]^2J(\mathbf{y}_k)F(\mathbf{y}_k). \quad (16)$$

### 3 Resultados

Para um domínio  $D \subset \mathbb{R}^2$ , inicia-se cada método iterativo fornecendo as estimativas iniciais  $\mathbf{x}_0 \in D$ . Para a geração das estimativas iniciais  $\mathbf{x}_0$ , utilizou-se o domínio quadrado  $D = [-2, 2] \times [-2, 2]$ , sendo este discretizado em uma malha de  $1000 \times 1000$  pontos. As raízes de todos os sistemas utilizados se encontram dentro do domínio  $D$ . Em cada processo iterativo empregou-se a tolerância  $\varepsilon = 10^{-12}$  e o máximo de 80 iterações. O critério de parada usado foi  $|f_i(\mathbf{x}_k)| < \varepsilon$  para  $\forall i = 1, 2, \dots, n$ . Se um processo iterativo alcançar a tolerância de 80 iterações, este é considerado divergente a partir da atual estimativa inicial  $\mathbf{x}_0$ . Para maiores detalhes ver [12].

#### 3.1 Sistemas Não Lineares

Para obtenção dos resultados, foram utilizados sistemas cujas raízes reais já eram previamente conhecidas, para assim validar as raízes fornecidas pelos métodos numéricos.

Tabela 1: Sistemas Não Lineares.

| $F(\mathbf{x})$  | Raízes  |
|--|---|
| $\begin{cases} x^3 - 3xy^2 - 1 = 0 \\ 3x^2y - y^3 = 0 \end{cases} \quad (17)$                            | $\{(1, 0); (-1/2, \sqrt{3}/2); (-1/2, -\sqrt{3}/2)\}$   |
| $\begin{cases} x^5 - 10x^3y^2 + 5xy^4 - 1 = 0 \\ 5x^4y - 10x^2y^3 + y^5 = 0 \end{cases} \quad (18)$      | $\{(1, 0); ((\sqrt{5}-1)/4, \sqrt{(\sqrt{5}+5)/8}); ((-\sqrt{5}-1)/4, \sqrt{(5-\sqrt{5})/8}); ((\sqrt{5}-1)/4, -\sqrt{(\sqrt{5}+5)/8}); ((-\sqrt{5}-1)/4, -\sqrt{(5-\sqrt{5})/8})\}$  |
| $\begin{cases} x^2 - y^2 - 1 = 0 \\ (x^2 + y^2 - 1)(x^2 + y^2 - 2) = 0 \end{cases} \quad (19)$           | $\{(1, 0); (-1, 0); (\sqrt{6}/2, \sqrt{2}/2); (-\sqrt{6}/2, \sqrt{2}/2); (\sqrt{6}/2, -\sqrt{2}/2); (-\sqrt{6}/2, -\sqrt{2}/2)\}$   |
| $\begin{cases} x^2 - y^2 - 1 = 0 \\ (x^2 + xy + y^2 - 1)(x^2 + xy + y^2 - 2) = 0 \end{cases} \quad (20)$ | $\{(1, 0); (-1, 0); (2/\sqrt{3}, -1/\sqrt{3}); (-2/\sqrt{3}, 1/\sqrt{3}); (3\sqrt{(\sqrt{13}+5)/6} - 3\sqrt{((\sqrt{13}+5)/6)^3}, \sqrt{(\sqrt{13}+5)/6}); (3\sqrt{(5-\sqrt{13})/6} - 3\sqrt{((5-\sqrt{13})/6)^3}, \sqrt{(5-\sqrt{13})/6}); (3\sqrt{((\sqrt{13}+5)/6)^3} - 3\sqrt{(\sqrt{13}+5)/6}, -\sqrt{(\sqrt{13}+5)/6}); (3\sqrt{((5-\sqrt{13})/6)^3} - 3\sqrt{(5-\sqrt{13})/6}, -\sqrt{(5-\sqrt{13})/6})\}$ |

#### 3.2 Bacias de Atração e Conjunto de Julia

É conhecido que as bacias de atração de alguns dos métodos da seção 2 apresentam uma estrutura fractal [13, 14], como se pode ver na Figura 1, onde tem-se um exemplo de bacias de atração e do conjunto de Julia do método da Homotopia e Continuação aplicado ao sistema não linear (17). Por meio das bacias de atração é possível analisar e visualizar o comportamento de convergência de um método e calcular o raio de convergência local

de cada raiz. O conjunto de Julia é definido como o contorno entre as bacias de atração, sendo responsável pela formação das imagens fractais. Assim, é mediante este conjunto que se calcula a *dimensão fractal* pelo método *Box-Counting* [15].

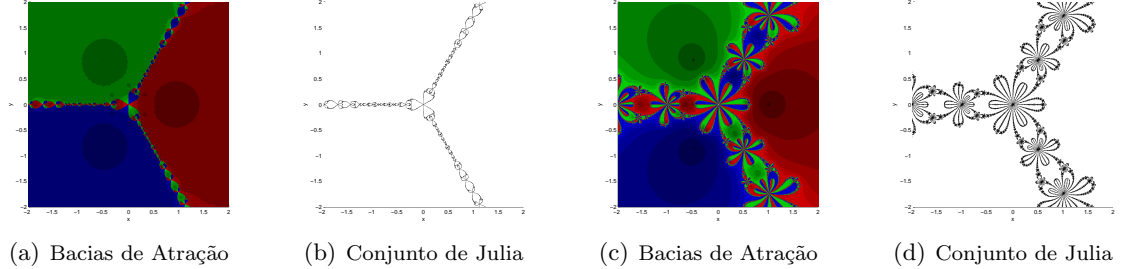


Figura 1: Bacias de Atração e Conjunto de Julia para o sistema (17) pelos métodos: (a)-(b) Homotopia e Continuação; (c)-(d) Potra-Pták.

### 3.3 Resultados Numéricos

O comparativo entre os métodos será realizado através dos resultados constantes nas Tabelas 2, 3, 4 e 5. Estas apresentam os seguintes resultados numéricos para cada um dos métodos da seção 2: ordem de convergência (Ord), índice de eficiência (IE), índice de eficiência computacional (IEC), dimensão fractal calculado pelo método *Box-Counting* (DF), média aritmética dos raios de convergência ( $\bar{r}$ ), total de pontos divergentes (PD), taxa média de iterações por ponto (I/P), taxa média de pontos por segundo (P/s) e taxa média de iterações por segundo (I/s) [12]. O símbolo \* indica que o resultado numérico não se encontra na bibliografia consultada.

Tabela 2: Resultados numéricos para o sistema não linear (17).

|     | Ord   | IE    | IEC    | DF    | $\bar{r}$ | PD     | I/P  | P/s    | I/s     |
|-----|-------|-------|--------|-------|-----------|--------|------|--------|---------|
| Nw  | 2     | 1.414 | 1.0473 | 1.406 | 0.620     | 0      | 7.9  | 1165.1 | 9194.8  |
| Br  | 1.618 | 1.618 | 1.0203 | 1.789 | 0.500     | 120095 | 27.4 | 452.0  | 12364.0 |
| St  | 2     | 1.414 | 1.0336 | 1.877 | 0.181     | 760906 | 64.6 | 98.5   | 6363.0  |
| Ha  | 3     | 1.442 | 1.0218 | 1.131 | 0.812     | 0      | 4.6  | 1266.9 | 5791.3  |
| Cbs | 3     | 1.442 | 1.0242 | 1.547 | 0.370     | 0      | 6.6  | 889.1  | 5883.0  |
| sH  | 3     | 1.442 | 1.0202 | 1.250 | 0.739     | 0      | 4.1  | 1359.4 | 5570.1  |
| HC  | Ord*  | IE*   | IEC*   | 1.222 | 0.794     | 0      | 4.0  | 326.7  | 1293.6  |
| PP  | 3     | 1.442 | 1.0449 | 1.611 | 0.333     | 66     | 7.6  | 942.3  | 7192.7  |
| PM  | 3     | 1.442 | 1.0373 | 1.409 | 0.642     | 40930  | 8.0  | 882.9  | 7070.3  |
| Ch  | 4     | 1.414 | 1.0362 | 1.661 | 0.308     | 712    | 8.0  | 684.2  | 5454.1  |

## 4 Conclusões

Analisando os resultados numéricos verifica-se que: o método HC apresentou o melhor resultado no cálculo da média dos raios de convergência local, tendo o maior valor em dois dos quatro testes; não houve pontos de divergência em todos os quatro testes para o método HC; em relação à quantidade de iterações por ponto, o método HC mostrou

Tabela 3: Resultados numéricos para o sistema não linear (18).

|     | Ord         | IE    | IEC    | DF    | $\bar{r}$ | PD     | I/P  | P/s   | I/s     |
|-----|-------------|-------|--------|-------|-----------|--------|------|-------|---------|
| Nw  | 2           | 1.414 | 1.0473 | 1.627 | 0.335     | 388    | 11.4 | 825.2 | 9387.1  |
| Br  | 1.618       | 1.618 | 1.0203 | 1.758 | 0.262     | 474480 | 49.2 | 245.3 | 12072.5 |
| St  | 2           | 1.414 | 1.0336 | 1.419 | 0.053     | 966632 | 77.8 | 77.2  | 6009.2  |
| Ha  | 3           | 1.442 | 1.0218 | 1.251 | 0.447     | 0      | 9.1  | 582.9 | 5311.5  |
| Cbs | 3           | 1.442 | 1.0242 | 1.575 | 0.213     | 208356 | 26.7 | 202.2 | 5404.0  |
| sH  | 3           | 1.442 | 1.0202 | 1.502 | 0.359     | 294    | 10.4 | 495.0 | 5165.2  |
| HC  | <i>Ord*</i> | IE*   | IEC*   | 1.406 | 0.544     | 0      | 4.5  | 255.2 | 1156.2  |
| PP  | 3           | 1.442 | 1.0449 | 1.735 | 0.184     | 54079  | 17.0 | 398.1 | 6752.7  |
| PM  | 3           | 1.442 | 1.0373 | 1.561 | 0.369     | 130702 | 15.7 | 414.2 | 6513.7  |
| Ch  | 4           | 1.414 | 1.0362 | 1.758 | 0.165     | 102119 | 20.0 | 253.5 | 5064.9  |

Tabela 4: Resultados numéricos para o sistema não linear (19).

|     | Ord         | IE    | IEC    | DF    | $\bar{r}$ | PD     | I/P  | P/s   | I/s     |
|-----|-------------|-------|--------|-------|-----------|--------|------|-------|---------|
| Nw  | 2           | 1.414 | 1.0473 | 1.361 | 0.135     | 264    | 10.5 | 946.1 | 9953.0  |
| Br  | 1.618       | 1.618 | 1.0203 | 1.693 | 0.126     | 164567 | 28.8 | 430.4 | 12392.4 |
| St  | 2           | 1.414 | 1.0336 | 1.721 | 0.080     | 636304 | 58.5 | 107.3 | 6279.3  |
| Ha  | 3           | 1.442 | 1.0218 | 1.648 | 0.127     | 45843  | 12.5 | 484.3 | 6050.6  |
| Cbs | 3           | 1.442 | 1.0242 | 1.528 | 0.086     | 335304 | 32.5 | 154.2 | 5007.3  |
| sH  | 3           | 1.442 | 1.0202 | 1.718 | 0.117     | 35786  | 12.5 | 468.7 | 5867.6  |
| HC  | <i>Ord*</i> | IE*   | IEC*   | 1.520 | 0.130     | 0      | 5.3  | 232.8 | 1231.7  |
| PP  | 3           | 1.442 | 1.0449 | 1.619 | 0.064     | 154420 | 20.0 | 296.4 | 5917.2  |
| PM  | 3           | 1.442 | 1.0373 | 1.565 | 0.134     | 684    | 7.3  | 927.9 | 6805.4  |
| Ch  | 4           | 1.414 | 1.0362 | 1.451 | 0.125     | 196736 | 22.3 | 221.2 | 4928.5  |

Tabela 5: Resultados numéricos para o sistema não linear (20).

|     | Ord         | IE    | IEC    | DF    | $\bar{r}$ | PD     | I/P  | P/s    | I/s     |
|-----|-------------|-------|--------|-------|-----------|--------|------|--------|---------|
| Nw  | 2           | 1.414 | 1.0473 | 1.401 | 0.174     | 550    | 8.9  | 1070.3 | 9521.0  |
| Br  | 1.618       | 1.618 | 1.0203 | 1.675 | 0.182     | 97834  | 21.6 | 559.1  | 12071.3 |
| St  | 2           | 1.414 | 1.0336 | 1.679 | 0.111     | 528608 | 48.2 | 129.7  | 6256.2  |
| Ha  | 3           | 1.442 | 1.0218 | 1.563 | 0.173     | 23659  | 8.7  | 648.4  | 5609.2  |
| Cbs | 3           | 1.442 | 1.0242 | 1.605 | 0.134     | 398866 | 35.7 | 130.7  | 4664.0  |
| sH  | 3           | 1.442 | 1.0202 | 1.635 | 0.158     | 19     | 8.1  | 675.5  | 5438.6  |
| HC  | <i>Ord*</i> | IE*   | IEC*   | 1.435 | 0.200     | 0      | 4.0  | 287.4  | 1162.2  |
| PP  | 3           | 1.442 | 1.0449 | 1.626 | 0.122     | 144532 | 17.5 | 325.2  | 5685.4  |
| PM  | 3           | 1.442 | 1.0373 | 1.576 | 0.184     | 1806   | 4.9  | 1232.5 | 6064.3  |
| Ch  | 4           | 1.414 | 1.0362 | 1.480 | 0.175     | 179508 | 19.9 | 238.6  | 4752.3  |

o menor índice nos quatro testes, apontando assim para uma convergência global mais eficiente; na quantidade de pontos processados por segundo, o método de Newton (Nw) teve o melhor desempenho, sendo o maior índice em dois dos quatro testes; em relação ao número de iterações processadas por segundo, o método de Broyden (Br) foi superior aos outros, apresentando o maior índice nos quatro testes realizados, ficando em segundo lugar o Método de Newton (Nw).

Desta forma, dentro dos testes realizados, destaca-se o método de Newton por sua maior eficiência temporal no processamento das iterações, visto que este processou mais pontos por segundo nos quatro testes. Já com relação à convergência, o método que mais se destacou foi o método da Homotopia e Continuação, enfatizando-se o fato deste ter apresentado 100% de pontos convergentes nos quatro testes realizados.

## Agradecimentos

Os autores agradecem à CAPES pelo auxílio financeiro.

## Referências

- [1] J. R. Taylor. *Classical Mechanics*. University Science Books, 2005.
- [2] S. D. Conte and C. De-Boor. *Elementary Numerical Analysis, an Algorithmic Approach*. McGraw-Hill Book Company, São Paulo, 1980.
- [3] R. L. Burden and J. D. Faires. *Numerical Analysis*. Cengage Learning, Canada, 2011.
- [4] C. G. Broyden. On the discovery of the “good broyden” method. *Mathematical Programming*, 87(2):209–213, 2000.
- [5] J. A. Ezquerro and M. A. Hernández-Verón. Increasing the applicability of steffensen’s method. *Journal of Mathematical Analysis and Applications*, 418(2):1062–1073, 2014.
- [6] M. Frontini and E. Sormani. Third-order methods from quadrature formulae for solving systems of nonlinear equations. *Appl. Math. Comput.*, 149(1):771–782, 2004.
- [7] T. Park, J. Ji, and K. Hee-Ko. A second order geometric method for ray/parametric surface intersection. *Computer Aided Geometric Design*, 30(8):795–804, 2013.
- [8] T. Steihaug and S. Suleiman. Rate of convergence of higher order methods. *Applied Numerical Mathematics*, 67(1):230–242, 2013.
- [9] F. A. Potra and V. Ptak. Nondiscrete Induction and Iterative Processes. *Research Notes in Mathematics*, 103, 1984.
- [10] E. L. Allgower and K. Georg. *Computational Solution of Nonlinear Systems of Equations*. American Mathematical Society, 1990.
- [11] C. Chun. A new iterative method for solving nonlinear equations. *Applied Mathematics and Computation*, 178(2):415–422, 2006.
- [12] E. A. Souza. Métodos iterativos para problemas não lineares. Dissertação de Mestrado, PPG-MCCT/UFF, 2015.
- [13] M. G. Epitropakis and M. N. Vrahatis. Studying the basin of convergence of methods for computing periodic orbits. *International Journal of Bifurcation and Chaos*, 21(08):2079–2106, 2011.
- [14] W. C. Rheinboldt. *Nonlinear Systems and Bifurcations*. John Wiley & Sons, Ltd, 2004.
- [15] G. Gonzato. A practical implementation of the box counting algorithm. *Computers & Geosciences*, 24(1):95–100, 1998.